

05.4; 06.1; 06.2

© 1992

СТРУКТУРЫ СЕГНЕТОЭЛЕКТРИК-СВЕРХПРОВОДНИК
С ПАМЯТЬЮ, УПРАВЛЯЕМЫЕ
ЭЛЕКТРИЧЕСКИМ ПОЛЕМ

В.В. Леманов, С.Т. Павлов,
И.С. Пивоваров

Для создания элементов быстродействующей энергонезависимой памяти большой интерес представляют многослойные структуры, включающие ВТСП-материалы и сегнетоэлектрики. Комбинирование этих материалов в составе одного прибора позволяет использовать их уникальные физические свойства для реализации сегнетоэлектрических элементов памяти, отличающихся от известных сейчас экспериментальных и серийных образцов [1].

Предлагаемые ниже схемы основаны, как и уже существующие, на способности сегнетоэлектрической пленки неограниченно долго сохранять остаточную поляризацию P_r , определенной полярности. Основным активным элементом является канал со свободными носителями, находящийся в контакте с сегнетоэлектриком затвора. Воздействие остаточной поляризации сегнетоэлектрика на проводимость и другие характеристики канала аналогично эффекту поля в транзисторах со структурой металл-сегнетоэлектрик-полупроводник [2]: индуцированный остаточной поляризацией P_r поверхностный заряд $|Q| = P_r$ экранируется свободными носителями канала и вызывает их пространственное перераспределение. Глубина воздействия P_r определяется радиусом Томаса-Ферми $\lambda = (\epsilon E_F)^{1/2} (6\pi n e^2)^{-1/2}$, где E_F – фермиевская энергия носителей, ϵ – статическая диэлектрическая проницаемость канала, n – равновесная объемная концентрация носителей. Изменение поверхностной концентрации носителей в канале $|N - N_0| \approx |P_r/e|$, где $N_0 \approx \lambda n$ может достигать величины порядка N_0 при $P_r \sim 10$ мкКл/см², если канал находится в легированном полупроводнике с $n \sim 10^{18} - 10^{19}$ см⁻³ ($\lambda \sim 2$ нм) или в ВТСП с $n \sim 10^{21}$ см⁻³ ($\lambda \sim 0.5$ нм).

2. Элемент памяти, изображенный на рис. 1, а, аналогичен джозефсоновскому полевому транзистору (см. обзор [3] и цитируемую там литературу), но отличается использованием сегнетоэлектрика вместо обычного диэлектрика. Подобный транзистор представляет собой контакт Джозефсона с непосредственной проводимостью в виде планарного мостика [4]. Слабая связь между электродами из ВТСП осуществляется через канал длины L с двумерным электронным газом, расположенным в инверсионном слое легированного полупроводника (типичное значение $L \sim 1000$ Å). Благодаря эффекту поля, можно в широких пределах изменять поверхностную концентрацию

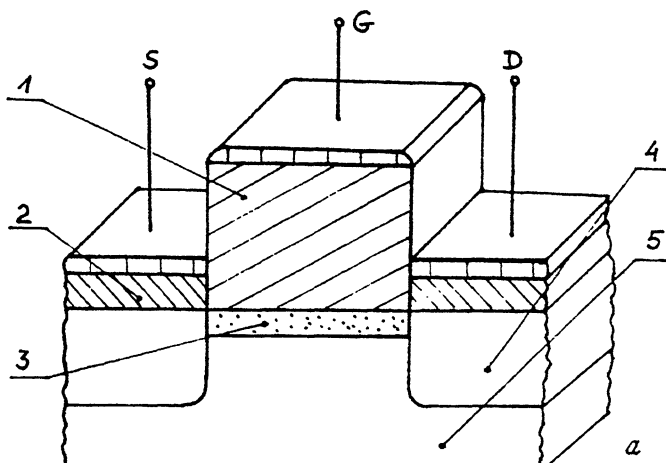


Рис. 1. а) Элемент памяти на джозефсоновском полевом транзисторе: 1 – сегнетоэлектрик, 2 – пленка ВТСП, 3 – двумерный электронный газ, 4 – n⁺-полупроводник, 5 – p-полупроводник (например, Si, InAs). б) Схема триггера на джозефсоновских полевых транзисторах.

цию носителей в канале слабой связи и, тем самым, управлять основными характеристиками контакта. Условие эффективности работы такого транзистора заключается в том, чтобы характеристическое напряжение контакта Джозефсона $V_C = I_C R_N$ (I_C – критический ток контакта, R_N – нормальное сопротивление канала) превышало характеристическое напряжение затвора V_G , требуемое для перевода транзистора из состояния с $I_{SD}=0$ в состояние с $I_{SD} \neq 0$ [3]. При этом возможна реализация сверхпроводниковых логических элементов памяти,

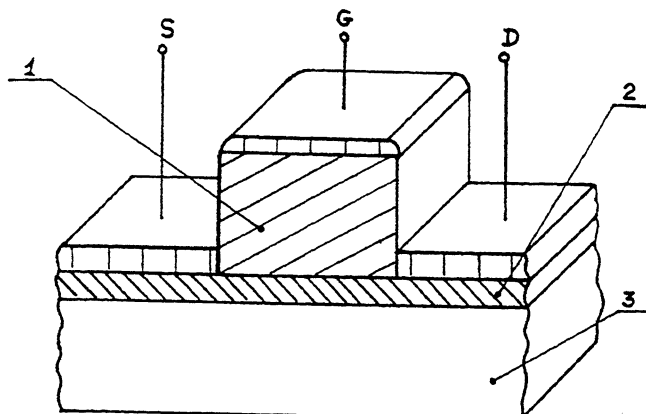


Рис. 2. Элемент памяти на сверхпроводниковом полевом транзисторе: 1 - сегнетоэлектрик, 2 - пленка ВТСП, 3 - подложка.

наиболее простым из которых является триггер, схема которого приведена на рис. 1, б.

Максимально возможное напряжение V_G достигается, когда слабая связь является короткой и чистой, т. е. выполняется условие $L < \xi_N < l$, где ξ_N и l – соответственно длина когерентности и длина свободного пробега носителей в канале слабой связи. При этом $V_G = \pi E_g / 2e$ (E_g – сверхпроводящая щель при $T=0$) [5]. Для контакта, выполненного из $YBa_2Cu_3O_7$, $E_g/e \approx 30$ мВ, максимально достижимая величина V_G составляет 47 мВ.

В традиционной схеме джозефсоновского полевого транзистора, включающей обыкновенный диэлектрик, роль характерного напряжения затвора V_G играет пороговое напряжение, превосходящее по величине 0.2 В. Видно, что оно значительно превышает $I_c R_N$ даже для ВТСП, поэтому эффективная работа схемы на основе обыкновенного диэлектрика представляется невозможной. Однако в случае структуры, содержащей сегнетоэлектрик, роль характерного напряжения V_G играет величина, по порядку равная $E_c d$, где E_c – коэрцитивное поле сегнетоэлектрической пленки, d – ее толщина. Подбирая состав сегнетоэлектрика таким образом, чтобы температура фазового перехода лежала недалеко от рабочей температуры прибора, можно достичнуть достаточно малой величины коэрцитивного поля. Например, в пленках $(Ba, Sr)TiO_3$ можно получить $E_c \sim 10$ кВ/см. Тогда при толщине пленки d менее 50 нм условие $I_c R_N > V_G$ будет выполнено. При этом триггер, изображенный на рис. 1б, будет работать следующим образом. При подаче импульса отрицательной полярности на вход 1 открывается транзистор 1,

$V_{\text{вых}}^{\text{вых}} = I_{SD} R_N \approx I_c R_N$ (логическая „1“). Величины этого напряжения достаточно для переключения поляризации сегнетоэлектрика в затворе транзистора 2 и перевода его в состояние с закрытым

каналом, $Y_2^{\text{вых}} = 0$ (логический „0“). Такое состояние триггера является устойчивым. Система переводится в противоположное логическое состояние только при подаче импульса отрицательной полярности на вход 2.

3. Элемент памяти, схема которого приведена на рис. 2, аналогичен исследованному в работах [6, 7] сверхпроводниковому полевому транзистору, но снова вместо обычновенного диэлектрика использован сегнетоэлектрик.

Если пленка сверхпроводника является достаточно толстой, то ее проводимость пропорциональна объемной концентрации носителей, и модуляция сопротивления пленки за счет эффекта поля будет мала. Иная ситуация возникает, когда толщина пленки меньше длины когерентности сверхпроводника, и пленка в целом является двумерной. Тогда ее проводимость в некотором интервале температур ниже температуры фазового перехода объемного сверхпроводника T_o определяется двумерными флуктуациями, т. е. имеет место переход Березинского-Костерица-Таулеса [8]. При температурах ниже критической температуры перехода T_c вольт-амперная характеристика пленки обладает значительной нелинейностью

$$RI \propto R_o I \left(\frac{I}{I_o} \right)^{\alpha(T)},$$

здесь R_o — нормальное сопротивление пленки при $T \geq T_o$, I_o — критический ток сверхпроводника. Параметр $\alpha(T)$ вблизи T_c расчет пропорционально понижению температуры и может достигать значений порядка 10 в различных материалах. Благодаря почти линейной зависимости температуры перехода Березинского-Костерица-Таулеса T_c от поверхностной концентрации носителей N , в двумерной пленке должен наблюдаться значительный эффект поля: по оценке авторов [9], модуляция сопротивления пленки R при оптимально выбранной рабочей температуре может достигать 10^2 . Таким образом, при использовании сегнетоэлектрика в качестве материала затвора можно получить значительное различие величины сопротивления сверхпроводниковой пленки R для значений остаточной поляризации $+P_p$ и $-P_p$, что позволяет реализовать два логических состояния элемента памяти.

Как следует из [7], реализация предлагаемой схемы возможна при использовании сверхтонких пленок ВТСП (например, $YBa_2Cu_3O_y$) толщиной в 1-2 постоянных решетки. Кроме того, представляется перспективным использовать в сверхпроводниковом полевом транзисторе в режиме Березинского-Костерица-Таулеса и более толстые пленки сплошных ВТСП на основе Bi и Tl .

В обеих схемах, предлагаемых в настоящей работе, сегнетоэлектрик является однодоменным. Большой интерес представляет также изучение влияния периодической доменной структуры на свойства многослойных систем, включающих сверхпроводники.

Работа выполнена в рамках проекта № 802 Государственной программы „Высокотемпературная сверхпроводимость“.

Список литературы

- [1] Scott J.F., Paz De Araujo C.A., McConnell L.D. // Cond. Matter News. 1992. V. 1. N 3. P. 16-20.
- [2] Барфут Дж., Тейлор Дж. Полярные диэлектрики и их применения. М., 1981. 526 с.
- [3] Krogger H., Hilbert C., Gibson D.A., Ghoshal U., Smith L.N. // Proc. IEEE. 1989. V. 77. N 8. P. 1287-1301.
- [4] Лихарев К.К. Введение в динамику джозефсоновских переходов. М., 1985. 320 с.
- [5] Кулик И.О., Омельянчук А.Н. // ФНТ. 1978. Т. 4. № 3. С. 296-311.
- [6] Mannhart J., Schloem D.G., Bednorz J.G., Mueller K.A. // Phys. Rev. Lett. 1991. V. 67. N 15. P. 2099-2101.
- [7] Xie X.X., Dougherty C., Walkenhorst A., Kwon C., Li Q., Venkatesan T. // Phys. Rev. Lett. 1992. V. 68. N 8. P. 1240-1248.
- [8] Halperin B.I., Nelson D.R. // J. Low Temp. Phys. 1979. V. 36. N 5/6. P. 599-616.
- [9] Hebard A.F., Fiory A.T., Eick R.H. // IEEE Trans. Magn. 1987. V. MAG-23. N 2. P. 1279-1282.

Физико-технический институт
им. А.Ф. Иоффе
РАН, С.-Петербург

Поступило в Редакцию
17 июля 1992 г.